

圖 5.1 Y 型分歧管的幾何造型。

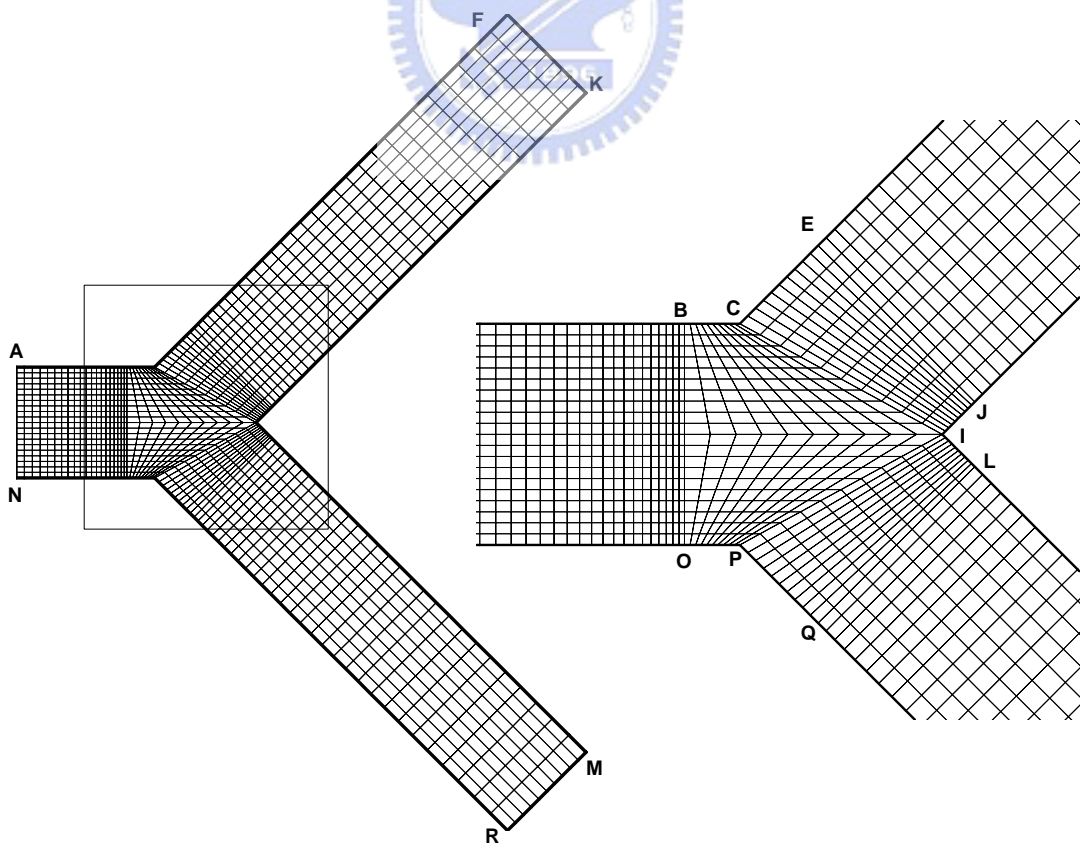


圖 5.2 Y 型分歧管的網格分佈。

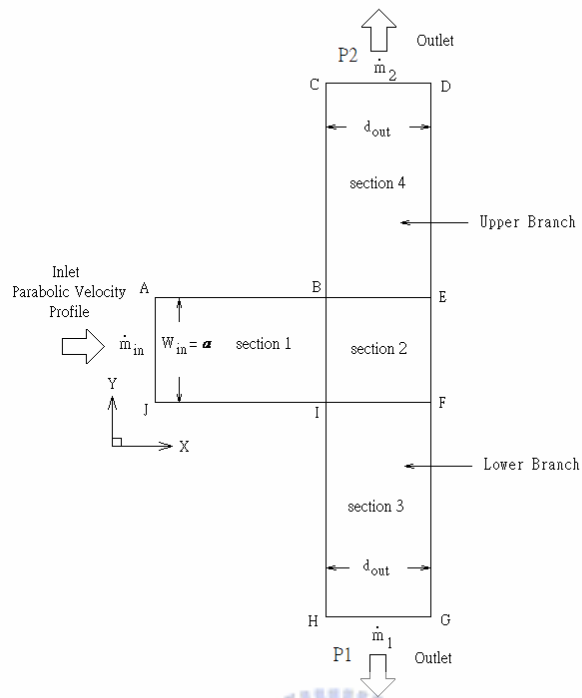


圖 5.3 T 型分歧管的幾何造型。

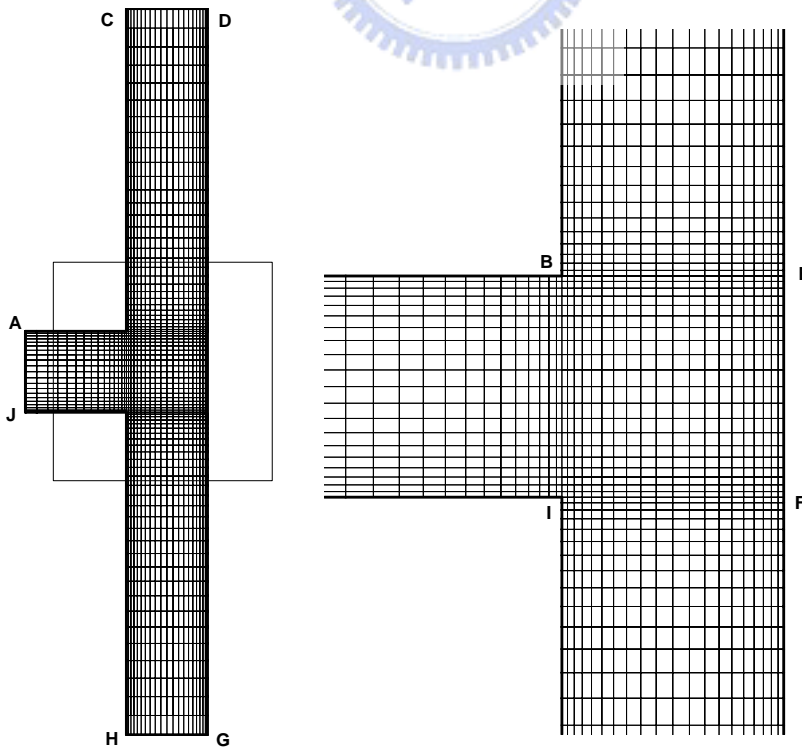
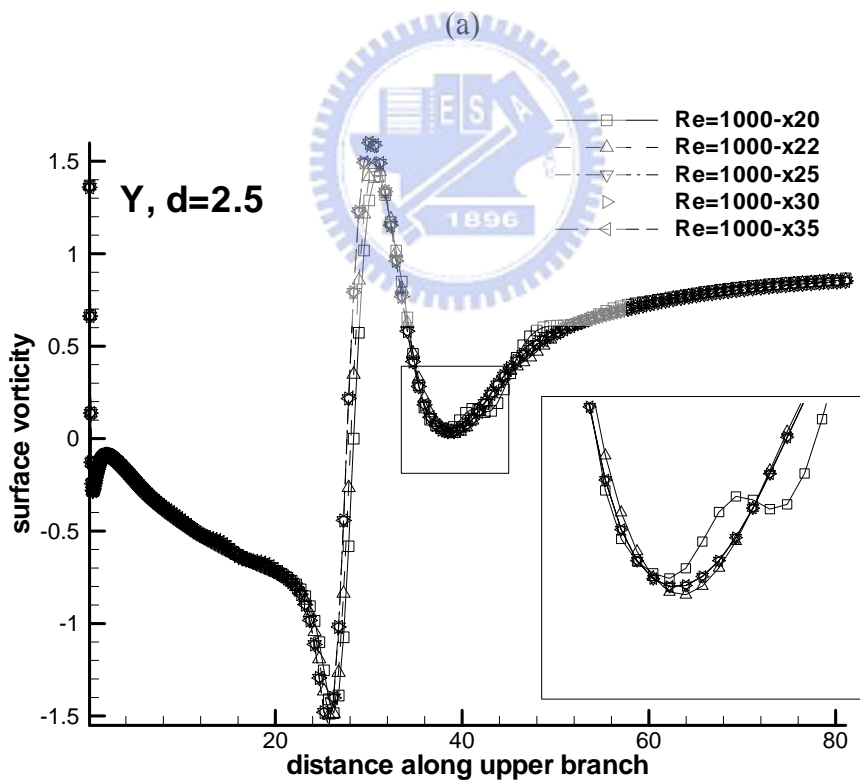
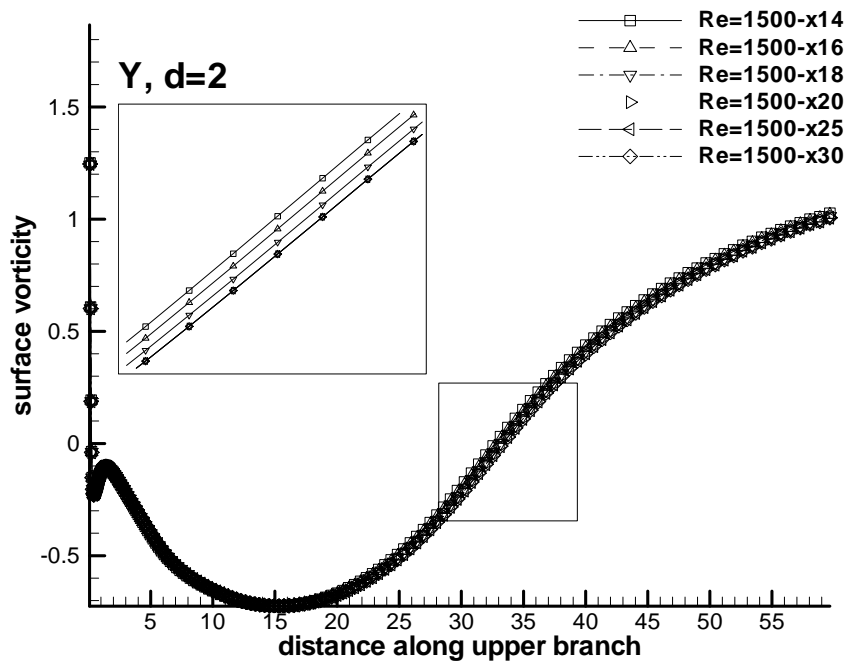
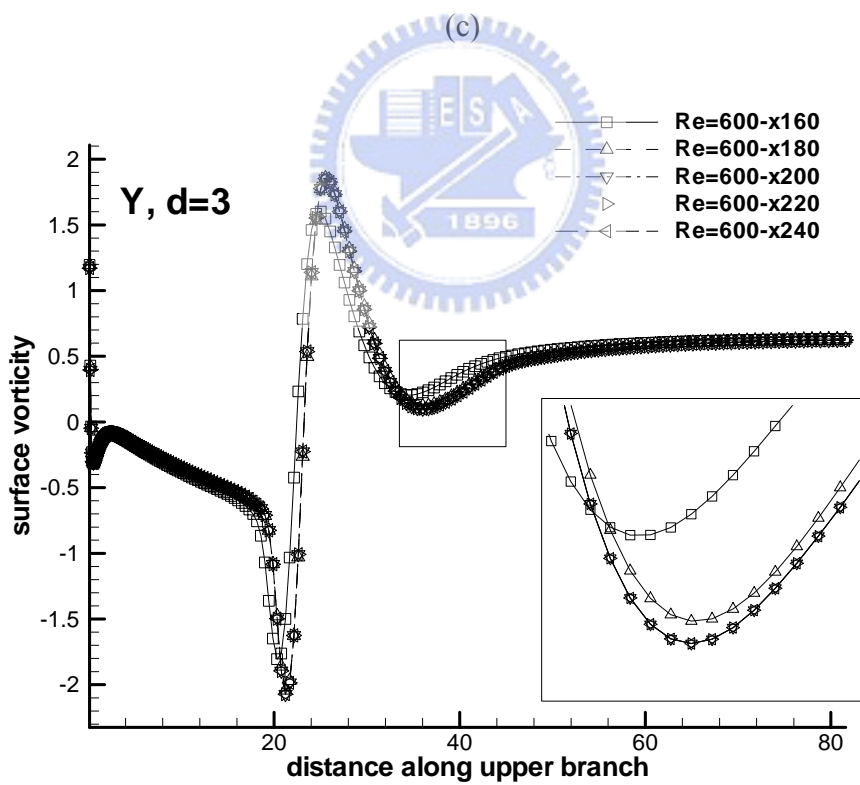
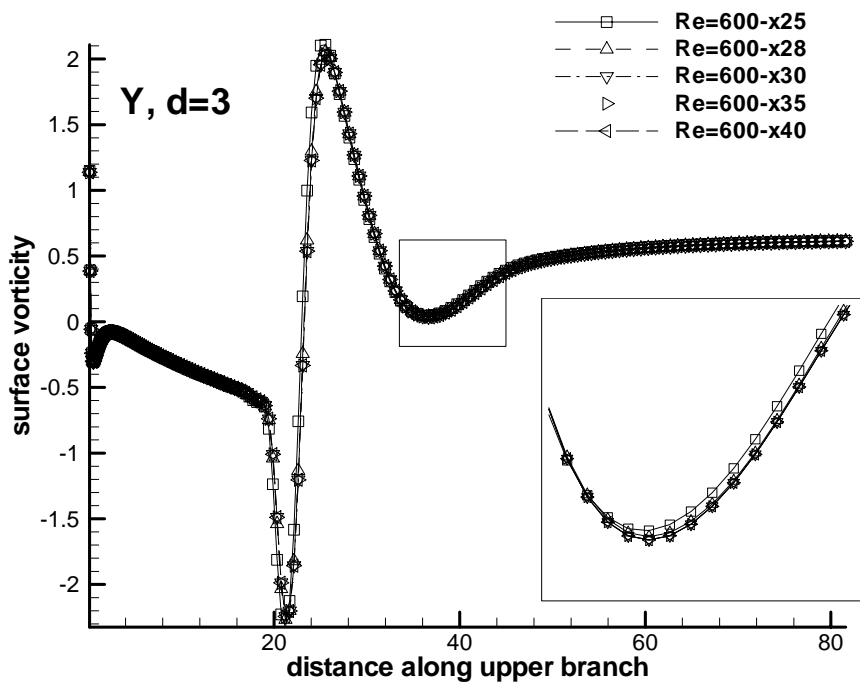


圖 5.4 T 型分歧管的網格分佈。



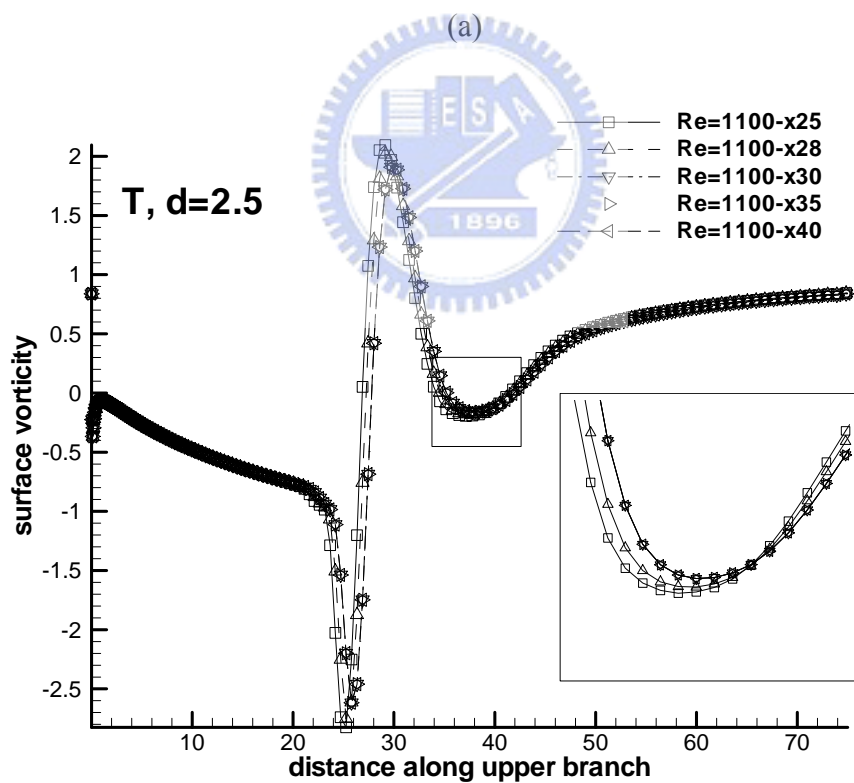
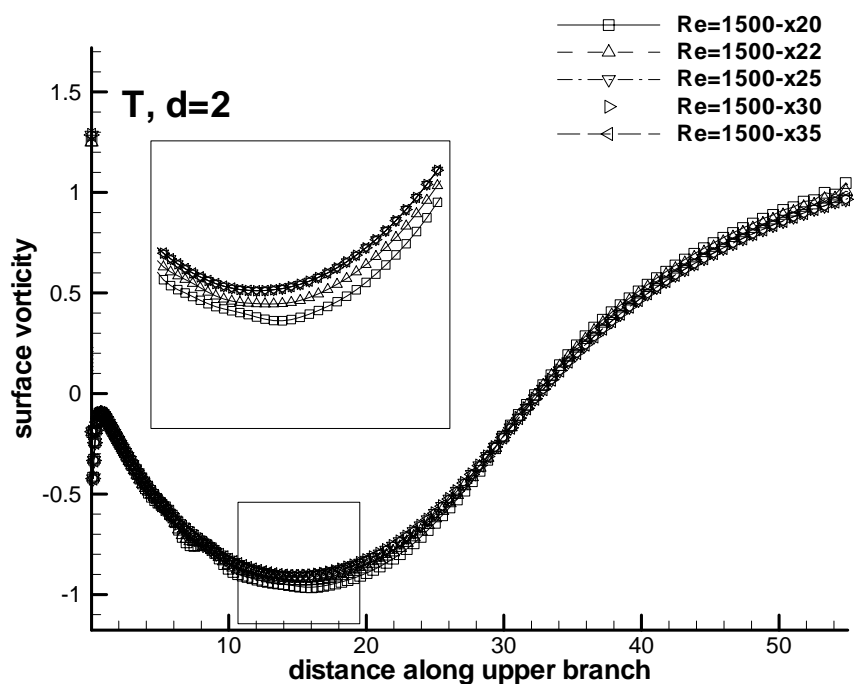
(b)

圖 5.5 Y 型分歧管之網格數目測試結果。



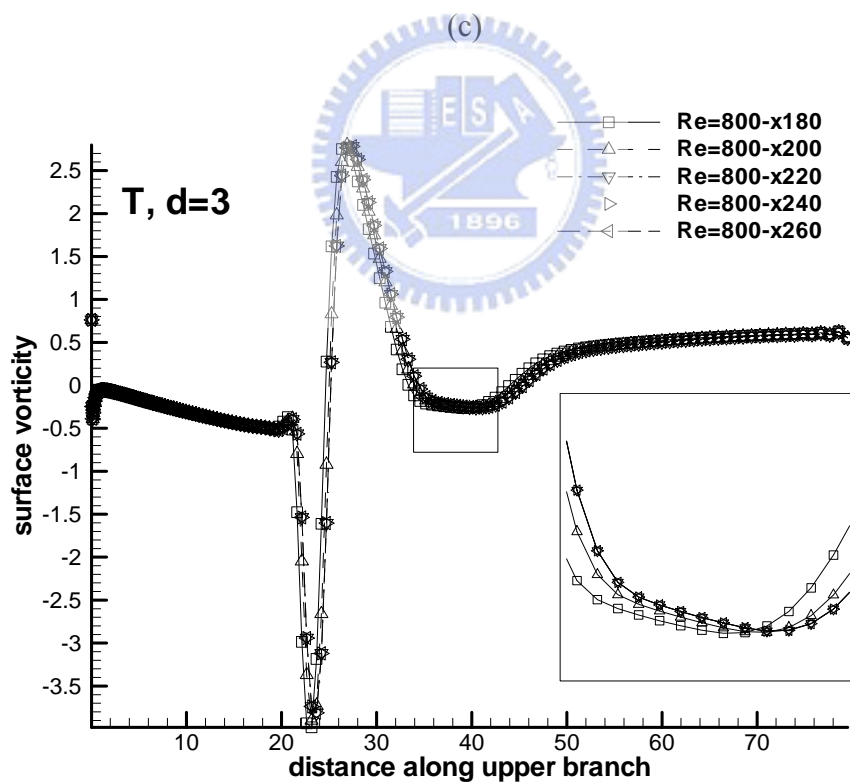
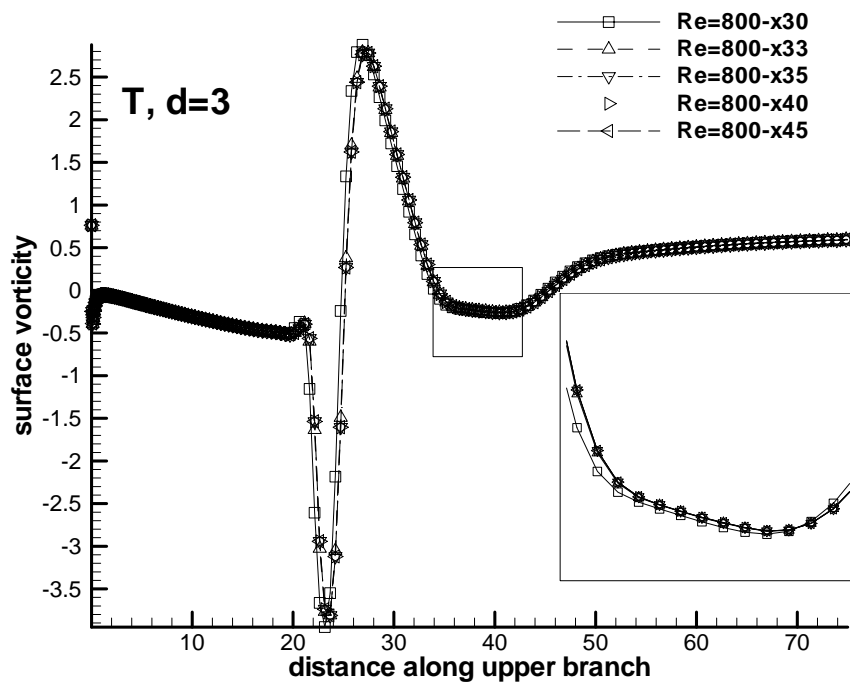
(d)

圖 5.5 Y 型分歧管之網格數目測試結果。



(b)

圖 5.6 T 型分歧管之網格數目測試結果。



(d)

圖 5.6 T 型分歧管之網格數目測試結果。

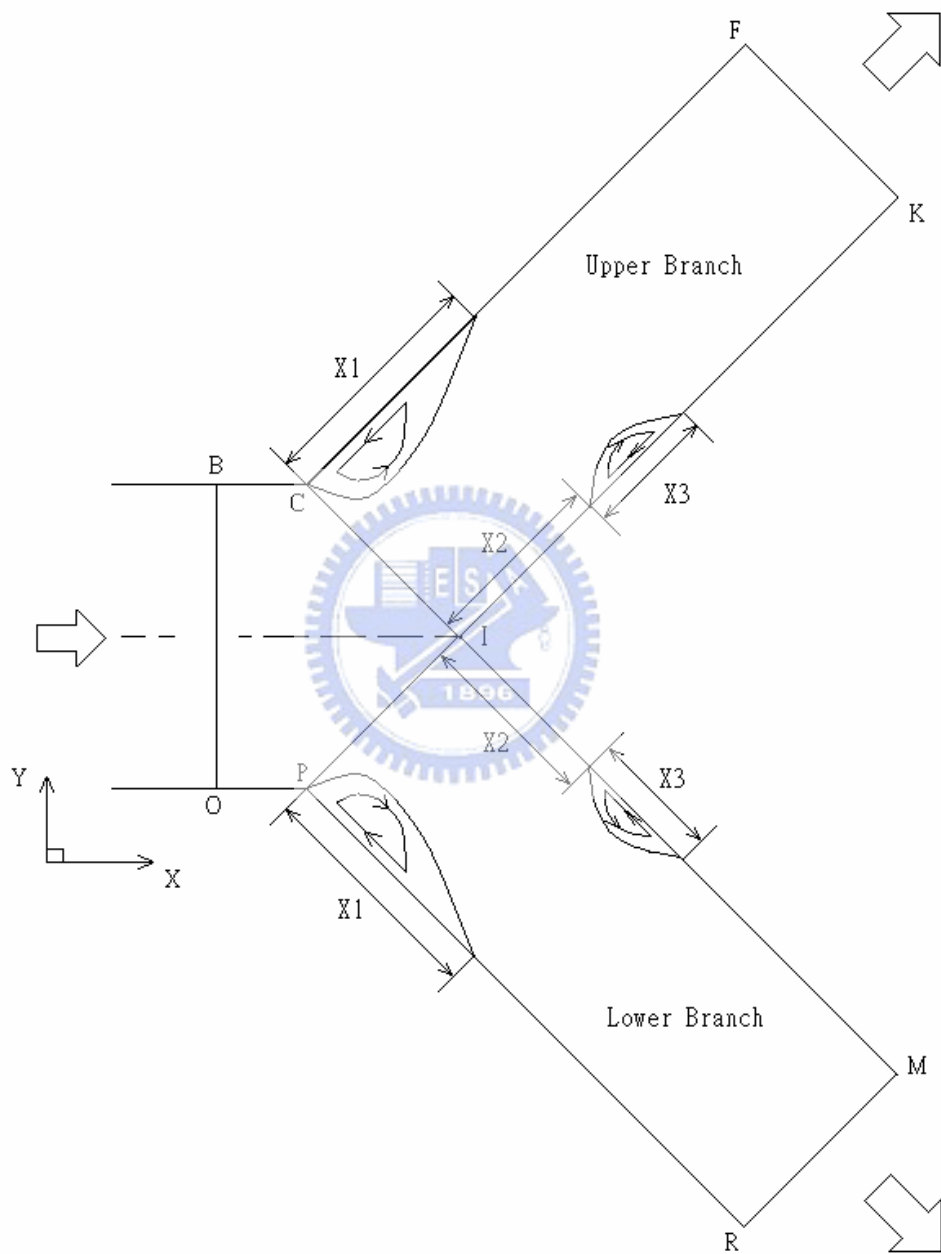


圖 6.1 迴流長度在 Y 型分歧管之說明圖。

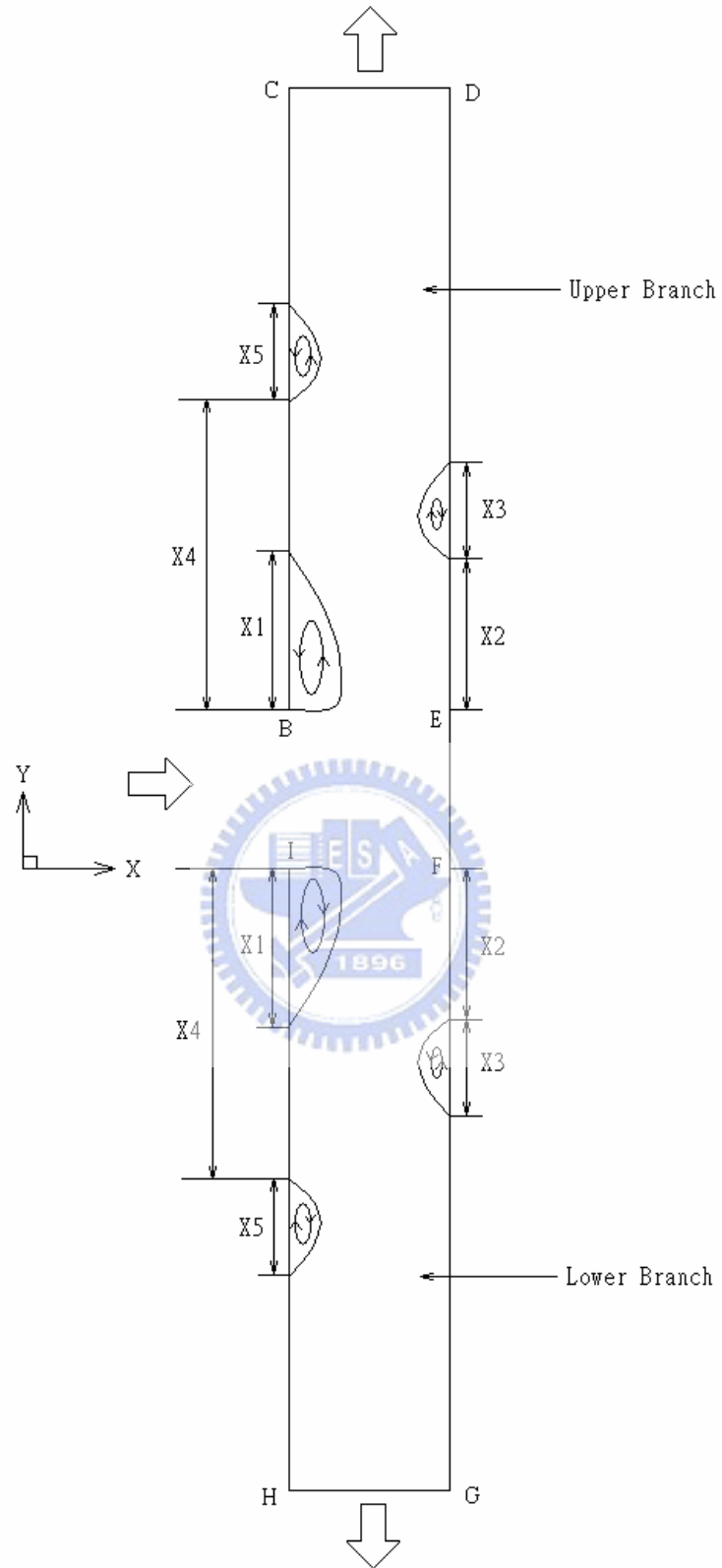
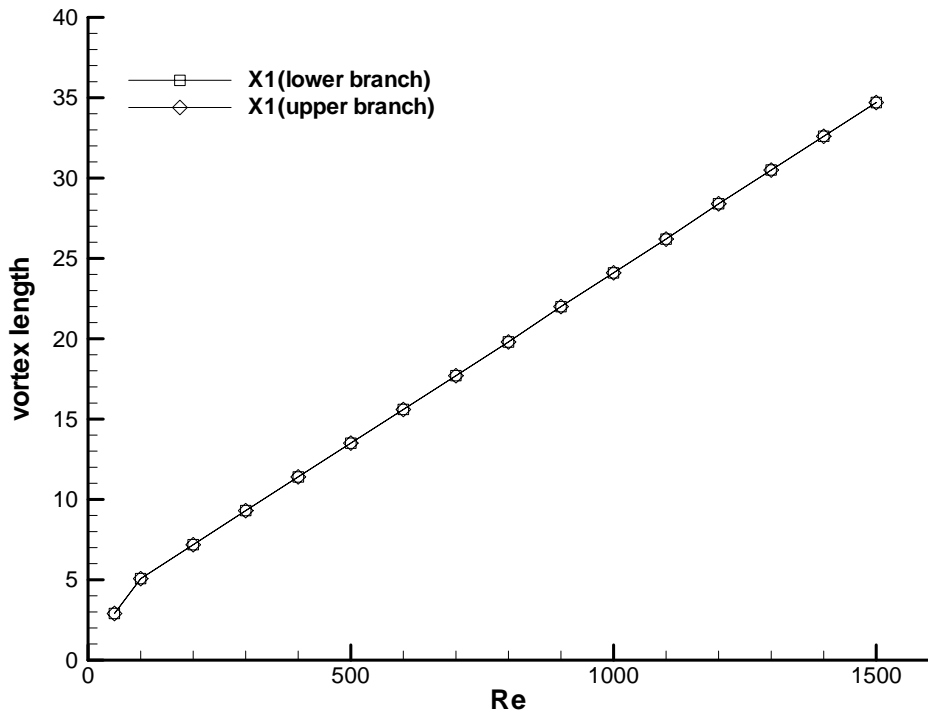
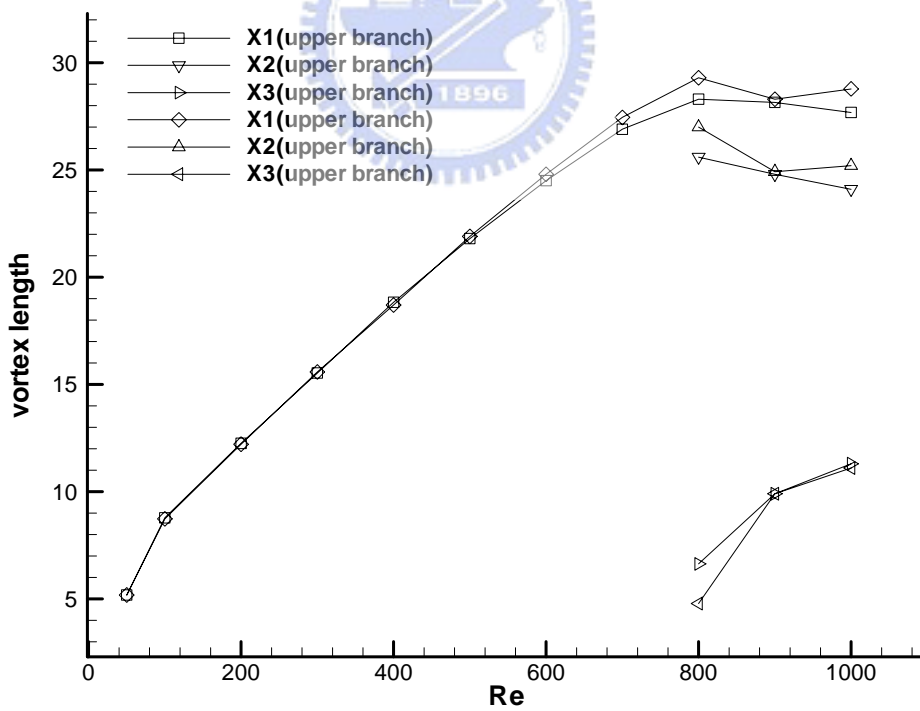


圖 6.2 迴流長度在 T 型分歧管之說明圖。



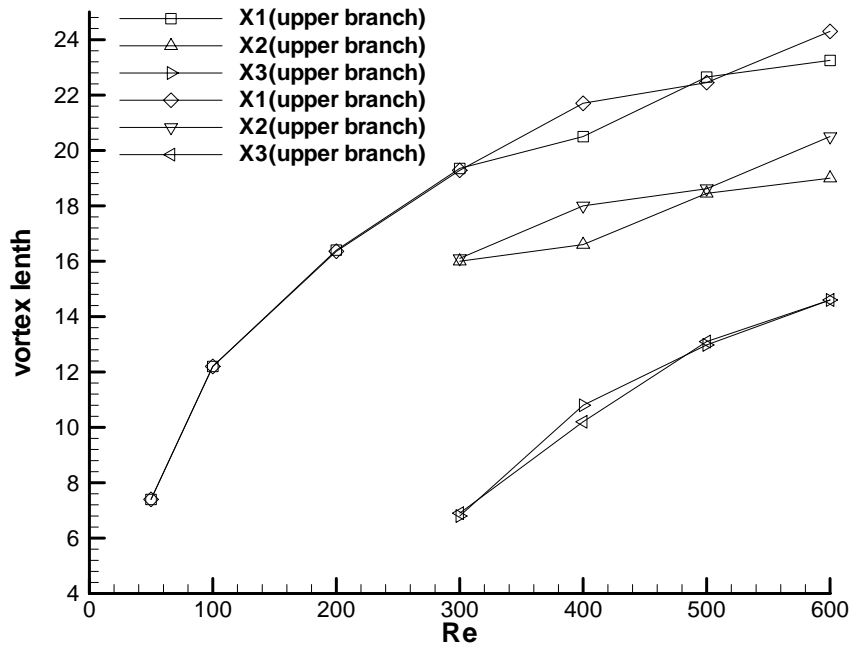


(a) Y-branch、 $\Delta P=0.0$ 、 $d_{out}=2.0$ 。



(b) Y-branch、 $\Delta P=0.0$ 、 $d_{out}=2.5$ 。

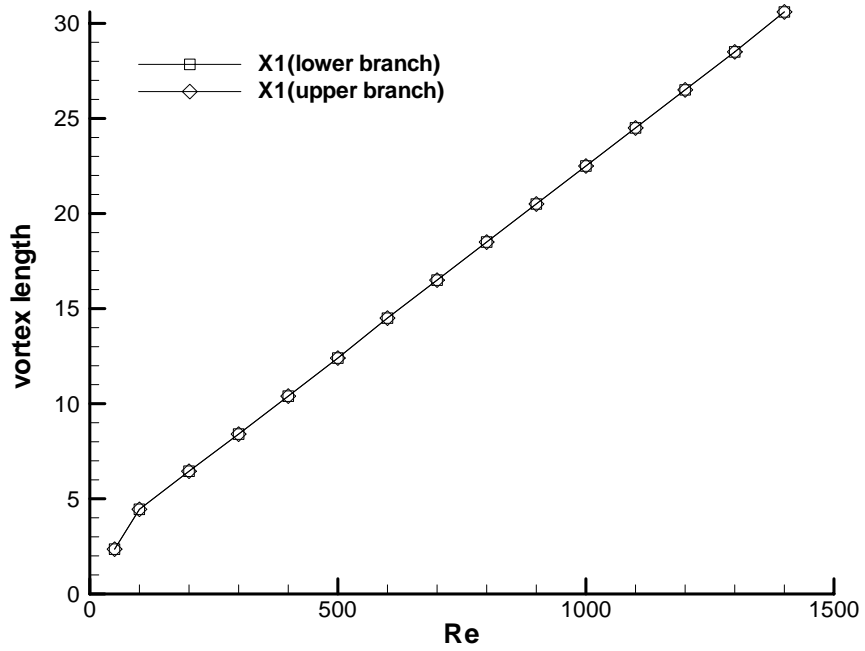
圖 6.3 當  $\Delta P=0.0$  時，Y 型分歧管中，其上下流道中的所有迴流長度及起始點位置，隨著雷諾數變化的情形。



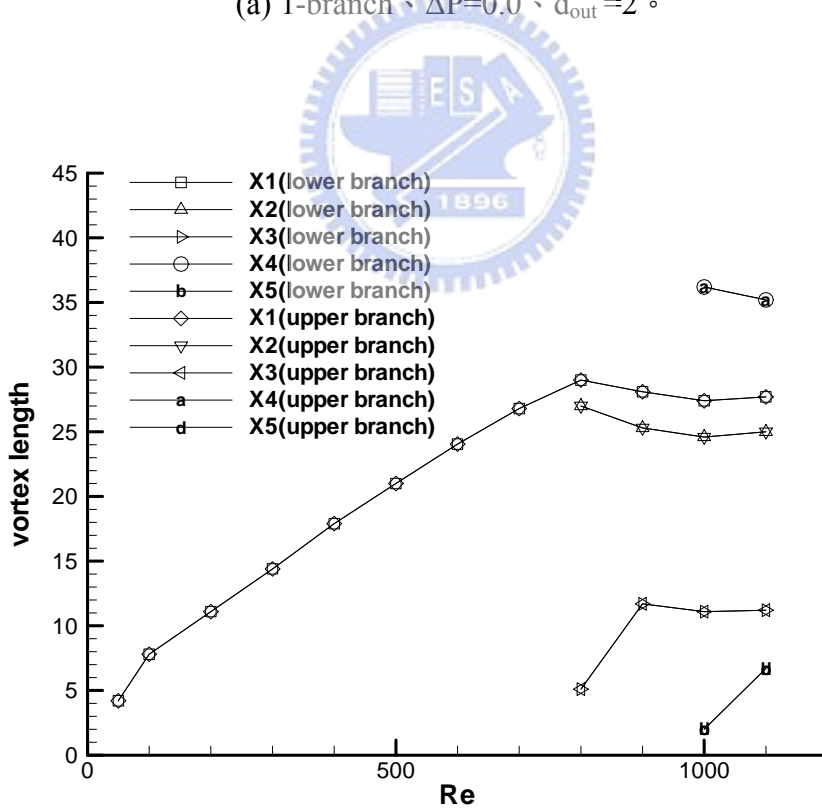
(c) Y-branch、 $\Delta P=0.0$ 、 $d_{out}=3$ 。



圖 6.3 當  $\Delta P=0.0$  時，Y 型分歧管中，其上下流道中的所有迴流長度及起始點位置，隨著雷諾數變化的情形。

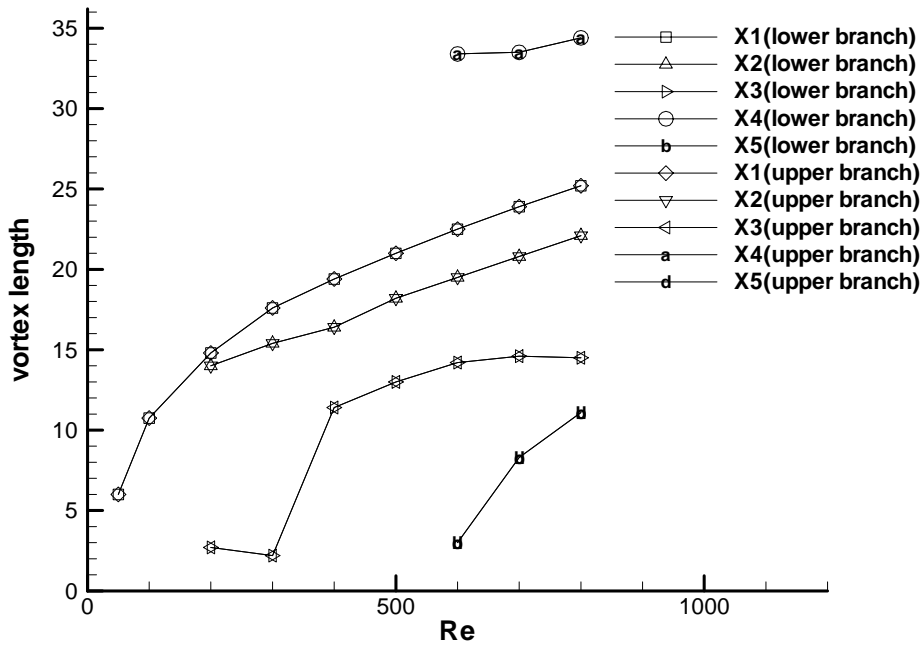


(a) T-branch、 $\Delta P=0.0$ 、 $d_{out}=2$ 。



(b) T-branch、 $\Delta P=0.0$ 、 $d_{out}=2.5$ 。

圖 6.4 當  $\Delta P=0.0$  時，T 型分歧管中，其上下流道中的所有迴流長度及起始點位置，隨著雷諾數變化的情形。



(c) T-branch、 $\Delta P=0.0$ 、 $d_{out}=3$ 。



圖 6.4 當  $\Delta P=0.0$  時，T 型分歧管中，其上下流道中的所有迴流長度及起始點位置，隨著雷諾數變化的情形。